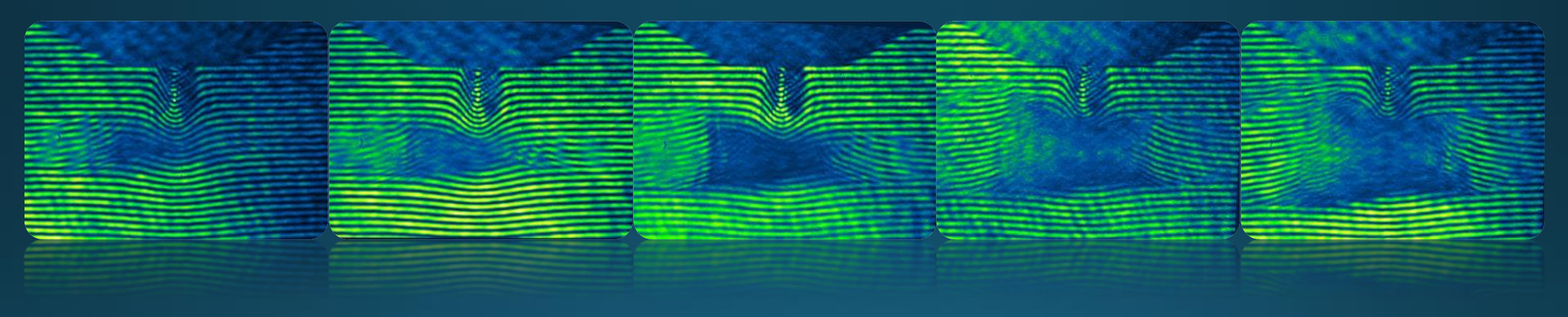
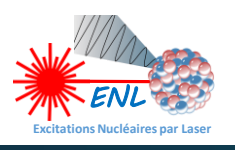
## Journée technologique LP2iB 2022



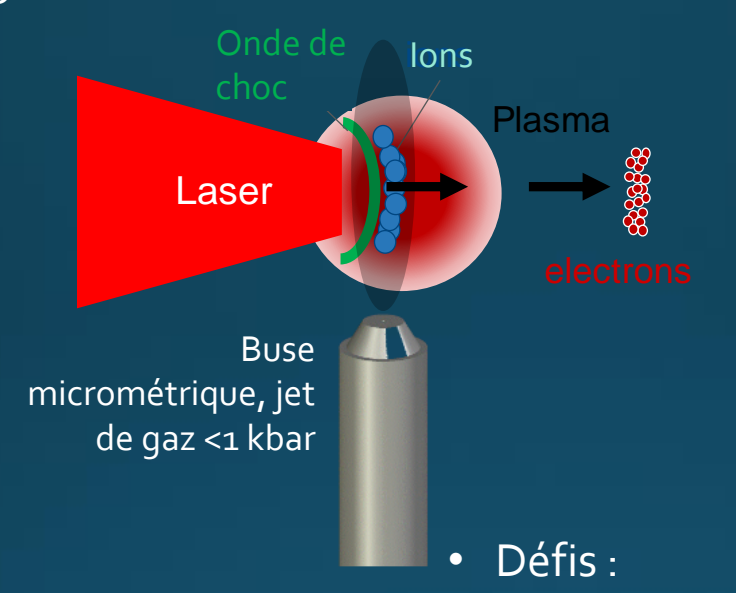
Antoine Maitrallain, ENL

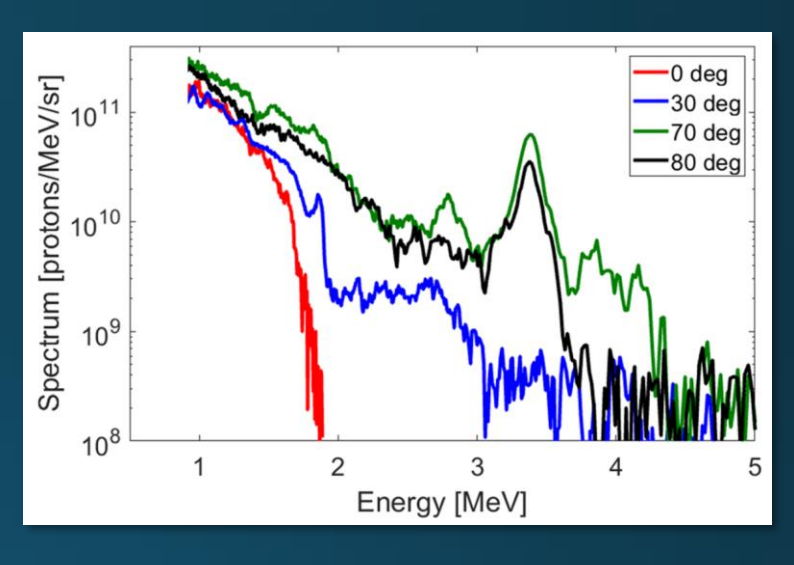
Développement d'un banc de caractérisation de cibles gazeuses à haute densité et leur mise en forme optique



## Accélération d'ions sur cible gazeuse à haute densité

Utilisation de cibles qazeuses (>  $10^{21}$  e/cm<sup>3</sup>) : CSA ("Collisionless Shock Acceleration")





- Avantages :
  - Amélioration de la distribution en énergie
  - Nature ions accélérés modifiable
  - **Alignement** unique
  - Réduction débris

➤ Haute cadence (≈ Hz)

- Endommagement de la buse
- Grande quantité de gaz relâchée dans enceinte à vide
- Fabrication de buses permettant d'obtenir un gradient raide, alternative : structuration optique

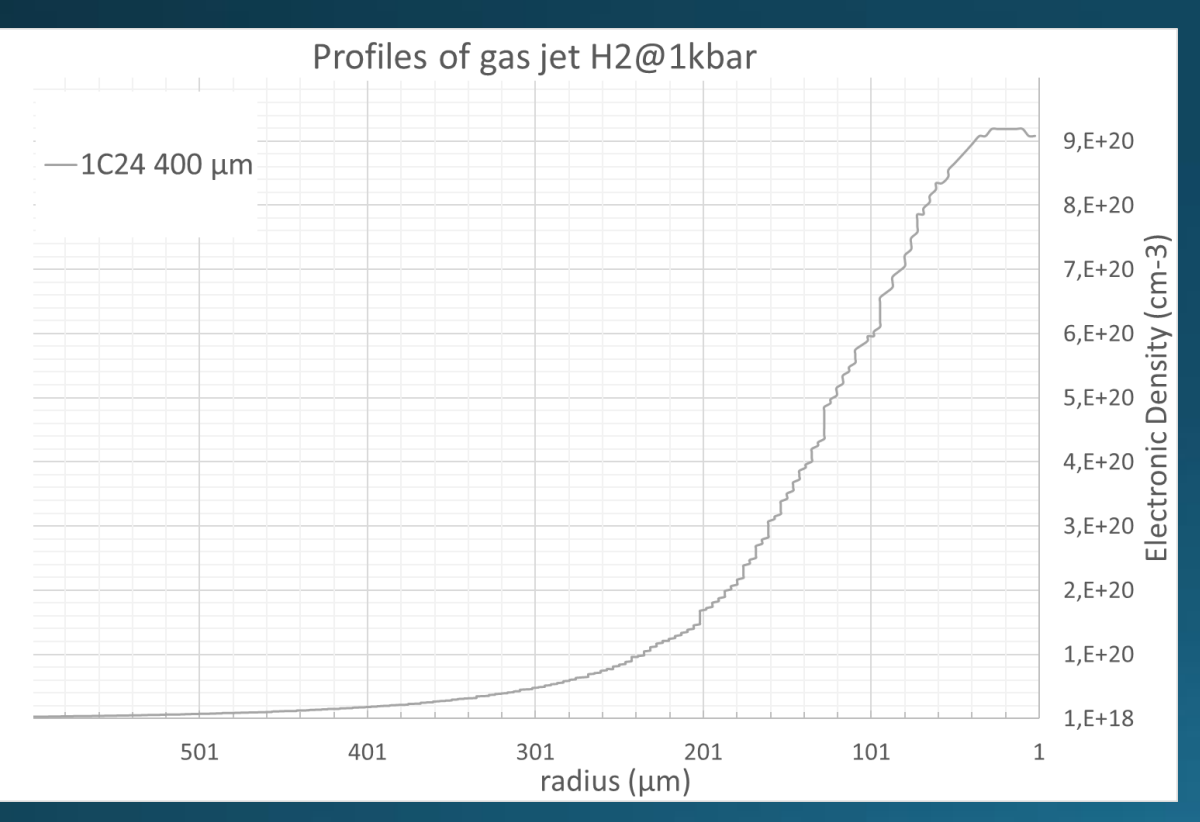
- Résultats prometteurs obtenus par le groupe ENL
  - > Nécessite caractérisation des cibles avant leur utilisation

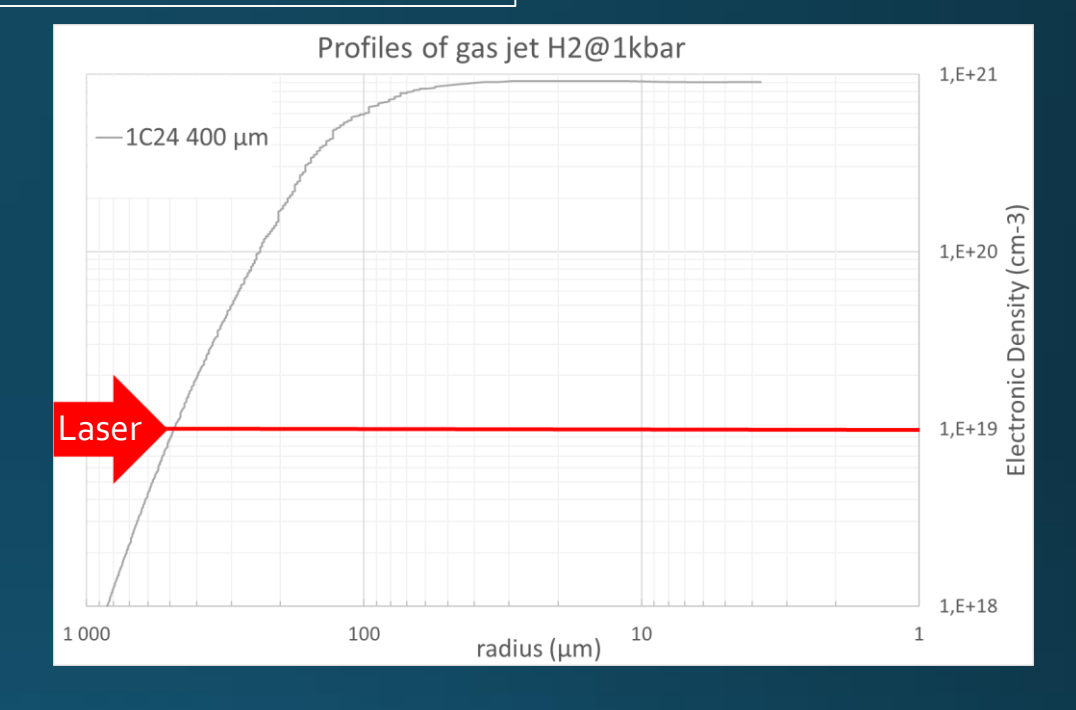


#### Cibles de gaz et accélération d'ions

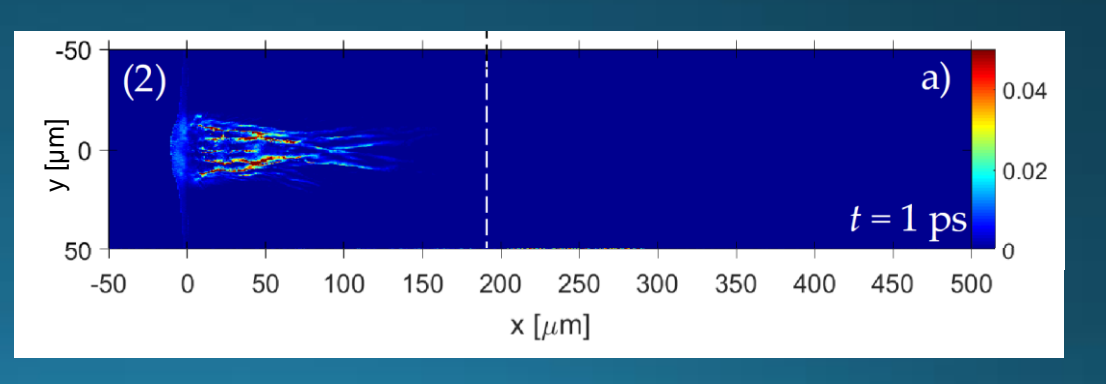
#### longueur d'onde 1 µm

→ Densité critique: 10<sup>21</sup> atom/cm<sup>3</sup>





#### Interaction 100's de µm avant zone très haute densité

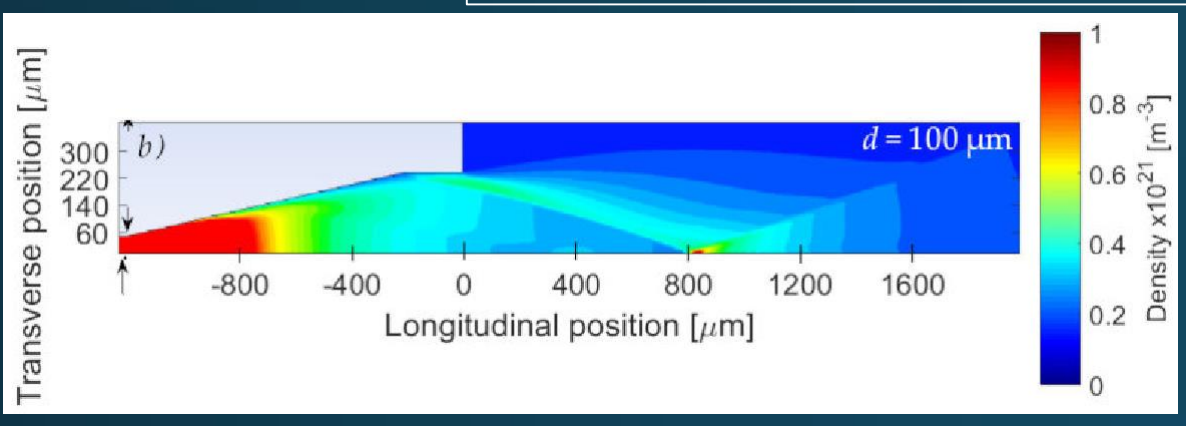


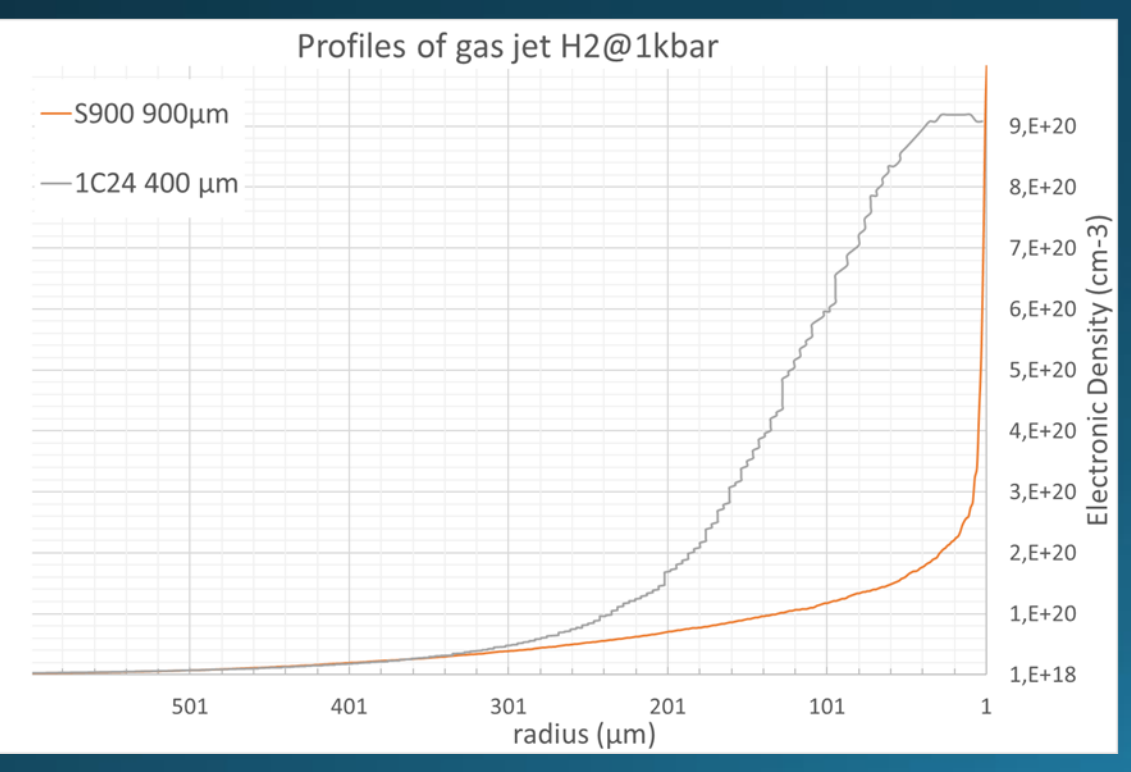
P. Puyuelo-Valdes et al, Phys. Plasmas 26, 123109 (2019)

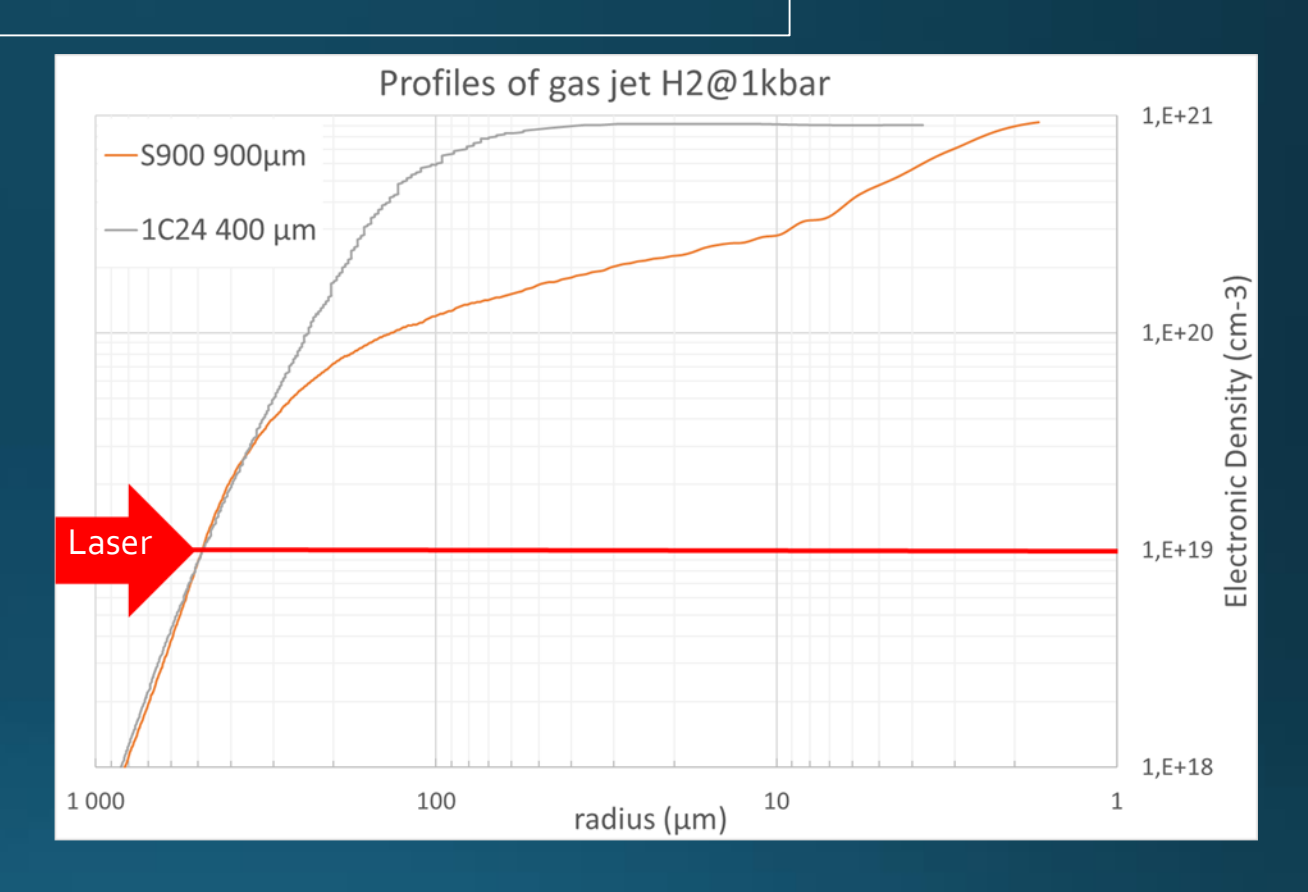




## Cibles de gaz et accélération d'ions: buses à choc

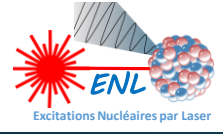




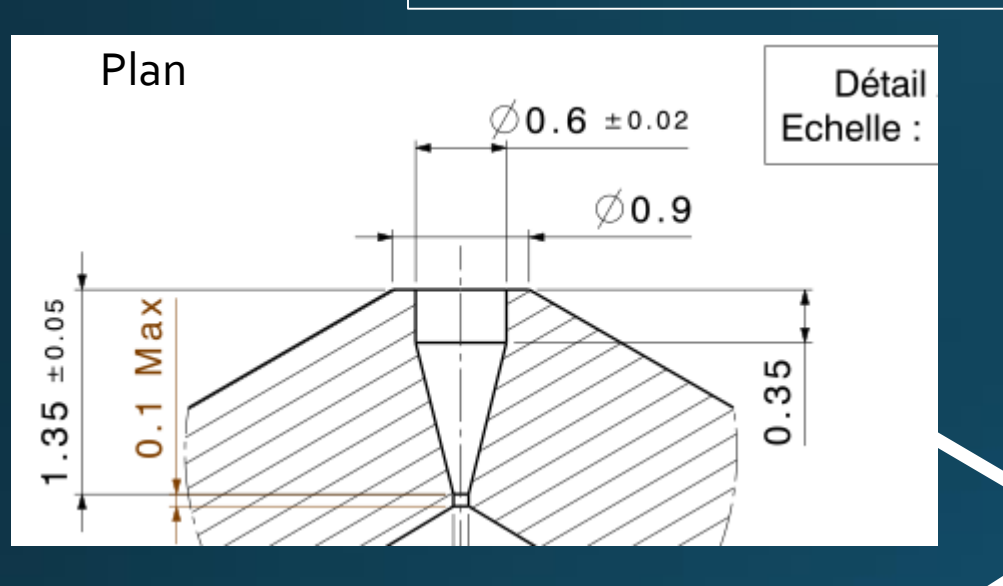


Réduit les "ailes" de "basse" densité sur le profil

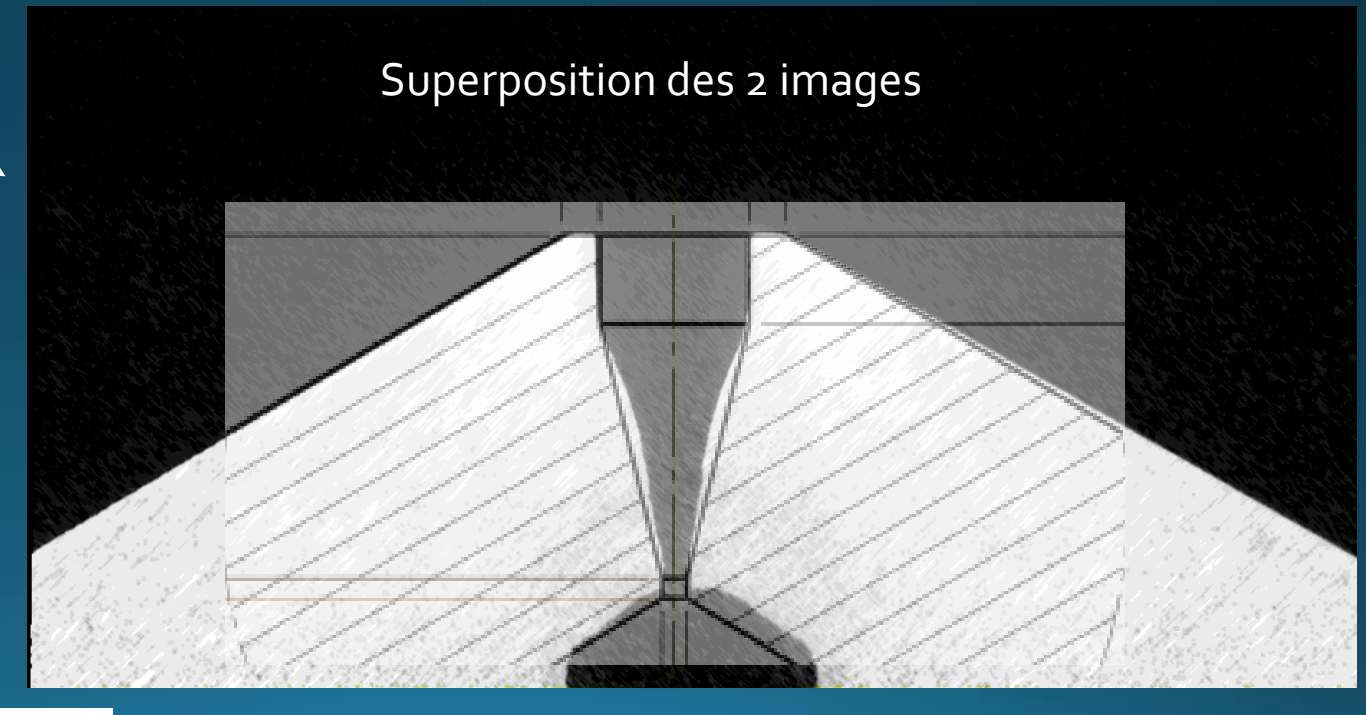




### Caractérisation de jet de gaz: tomographie X





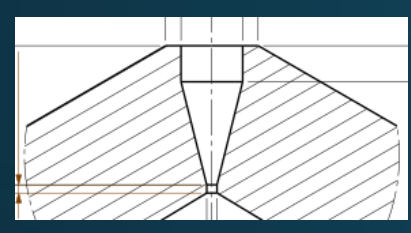


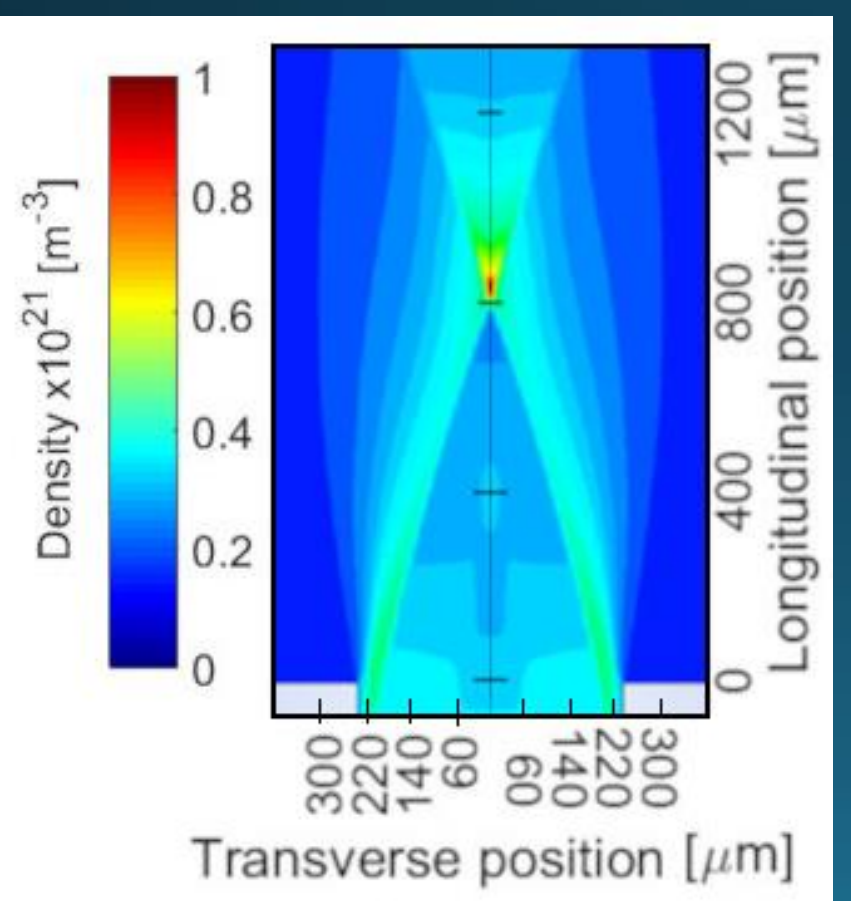




#### Simulations des distributions de densité



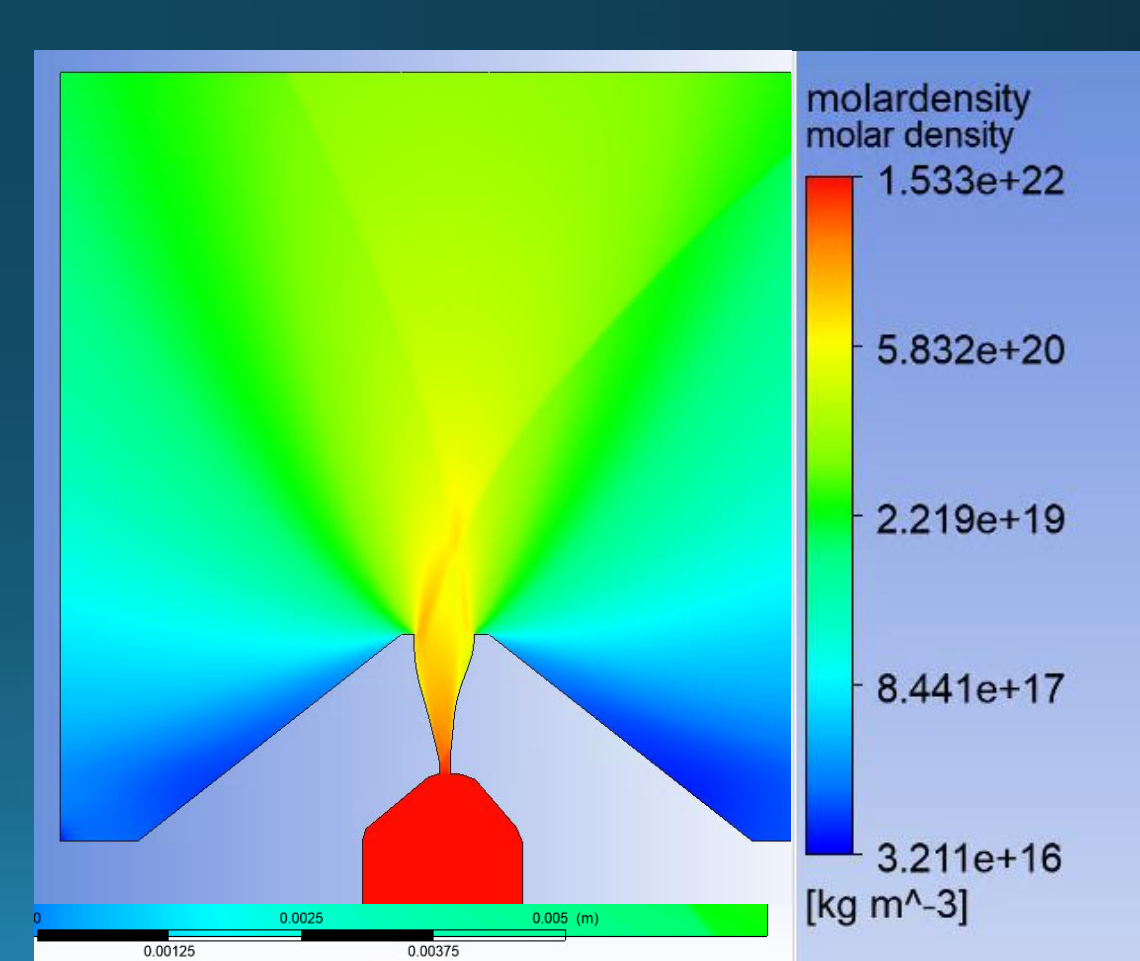




Quelques buses conformes, travail avec le fournisseur pour améliorer le processus de fabrication

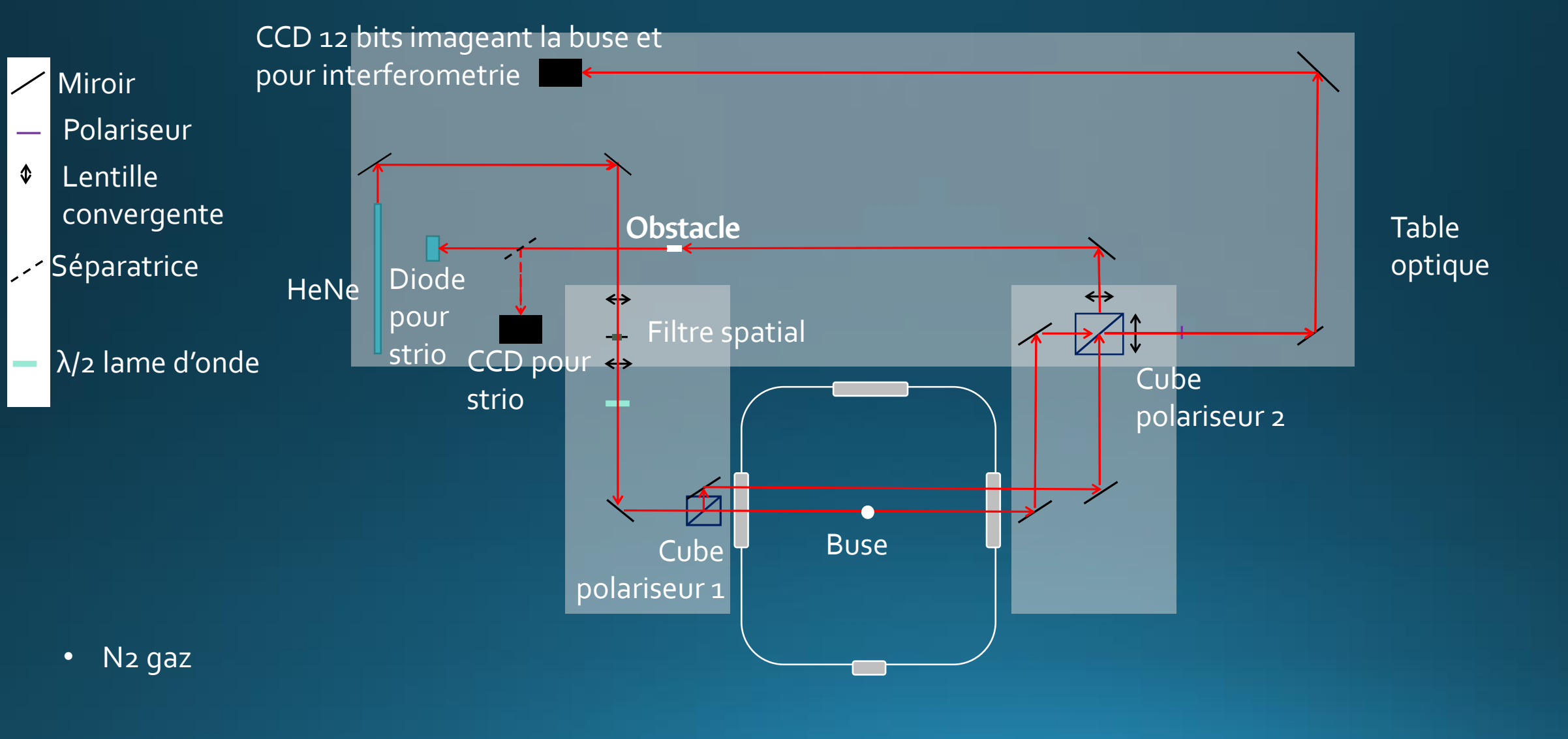
Charles Edouard
Demonchy
José Luis Hénares







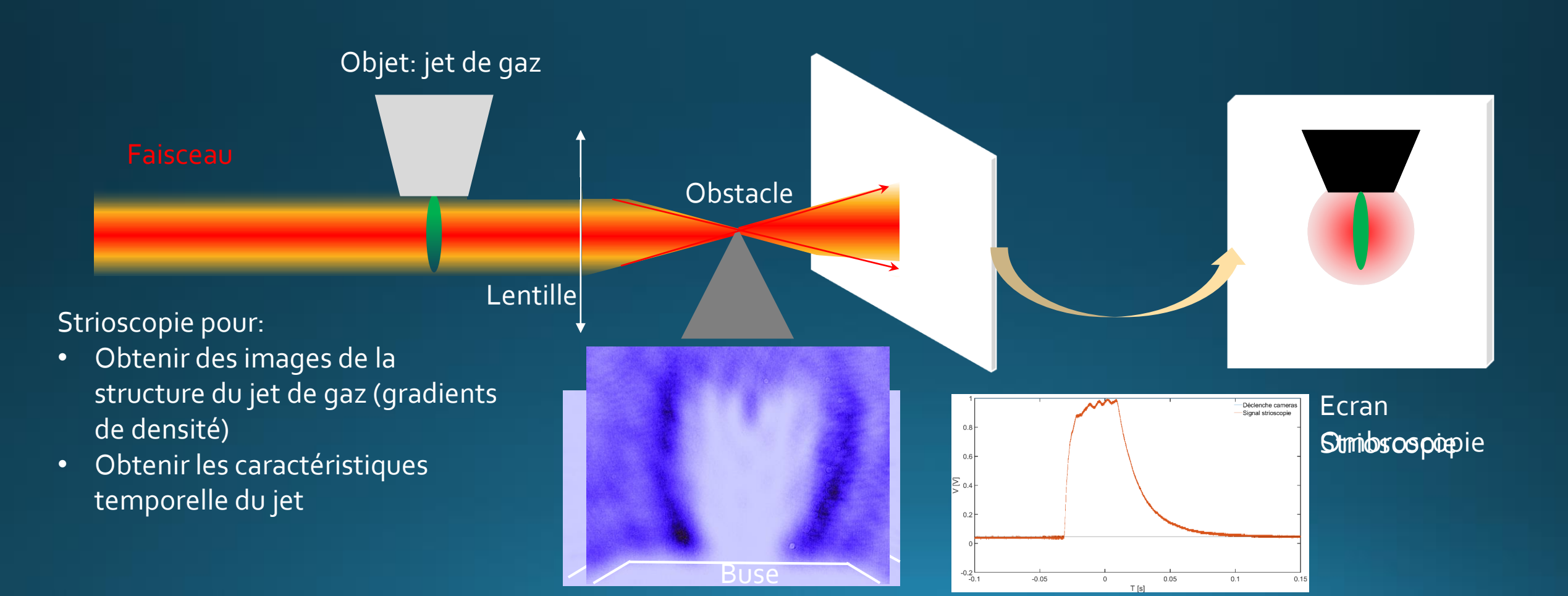
### Caractérisation de jet de gaz





#### Caractérisation jet de gaz: ombroscopie/strioscopie

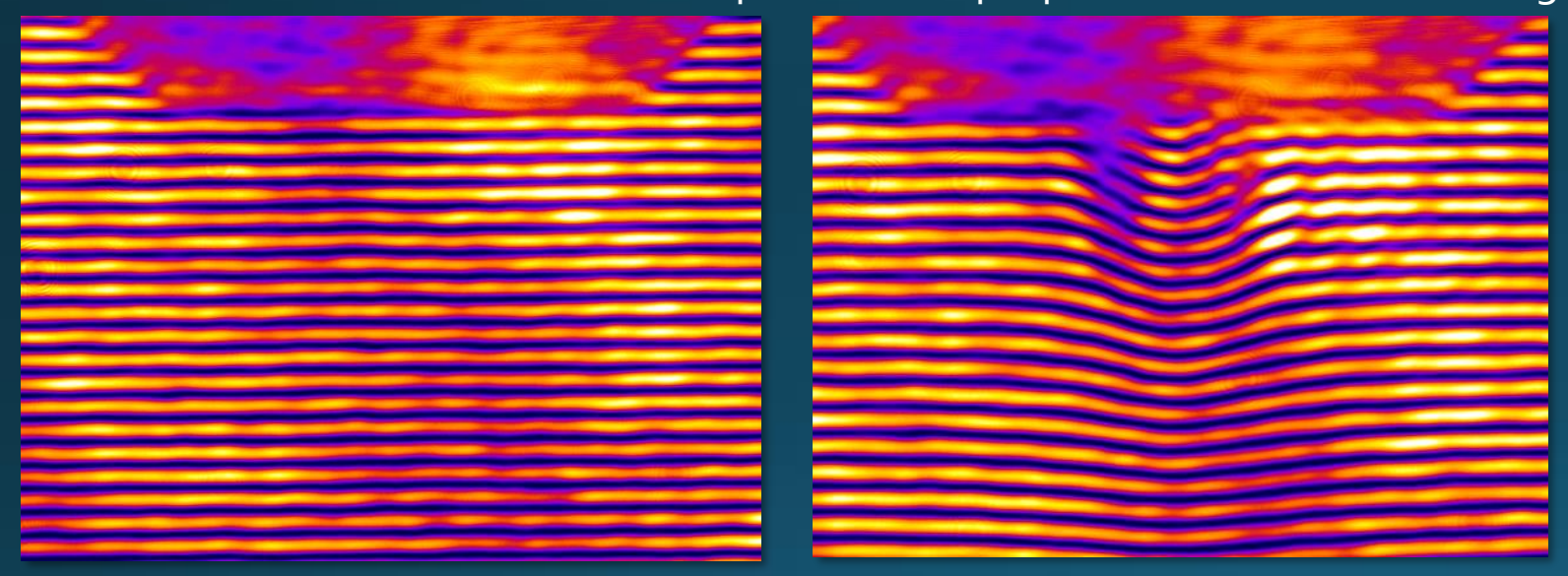
Caractérisation du jet de gaz (strioscopie et ombroscopie)



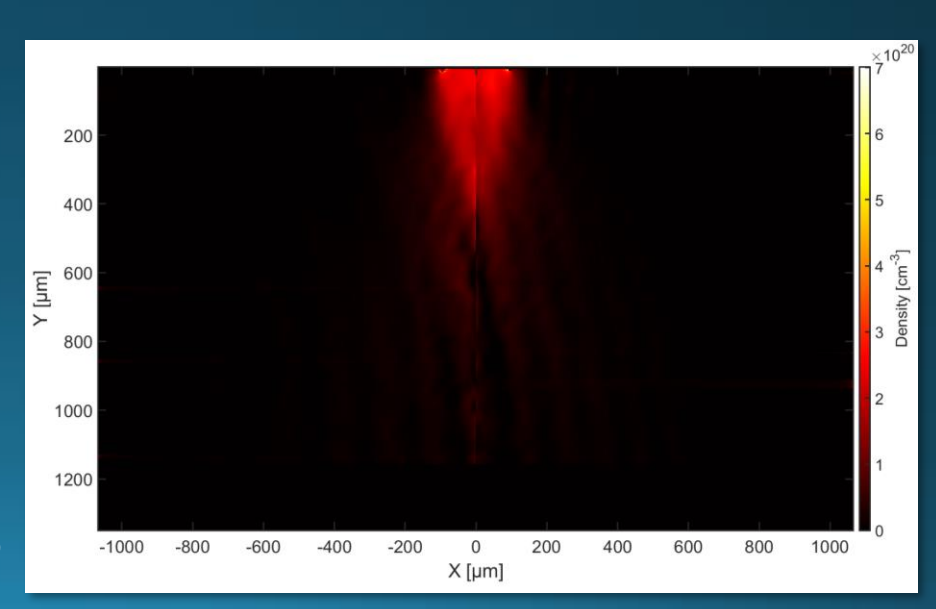


#### Caractérisation jet de gaz: interférométrie

- Différents parcours optiques empruntés par les 2 faisceaux (référence et sonde), interférence après leur recombinaison.
- Motif d'interférences varie lorsque l'indice optique sur un des 2 bras change => relâche gaz.

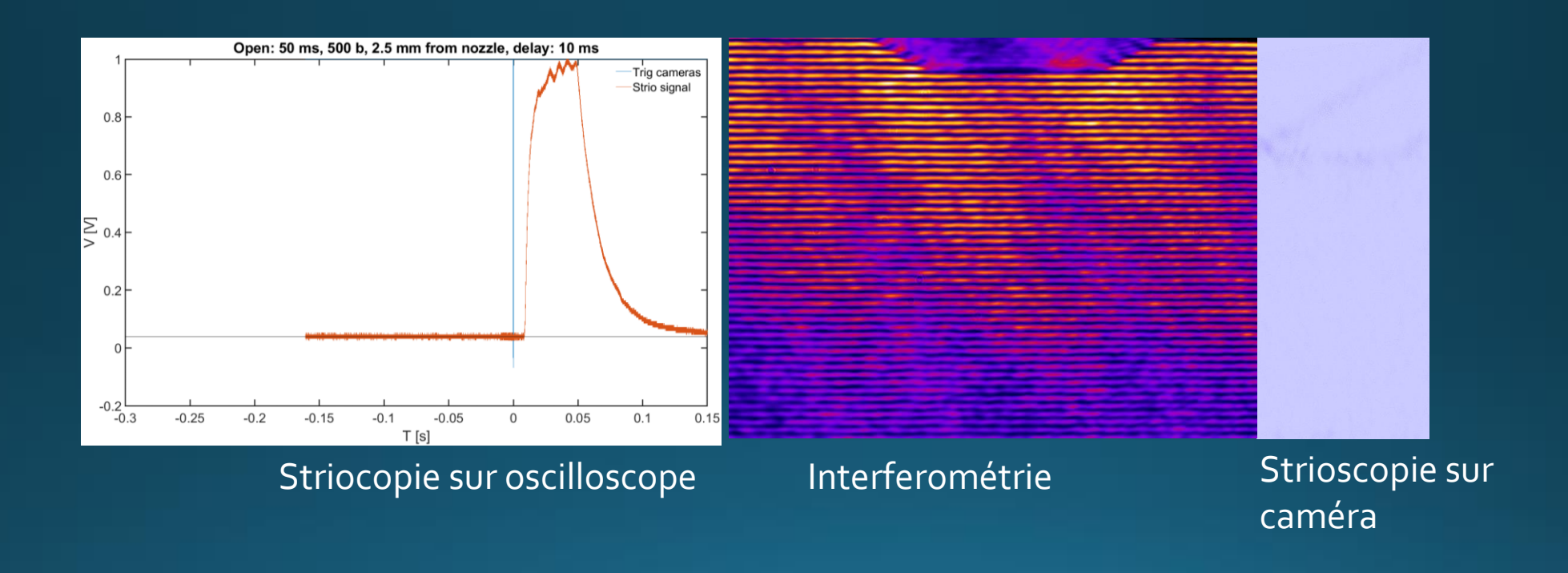


 Calcul de la différence de phase (Neutrino) et de la densité grâce à une inversion d'Abel pour obtenir une carte de densité





### Caractérisation de jet de gaz

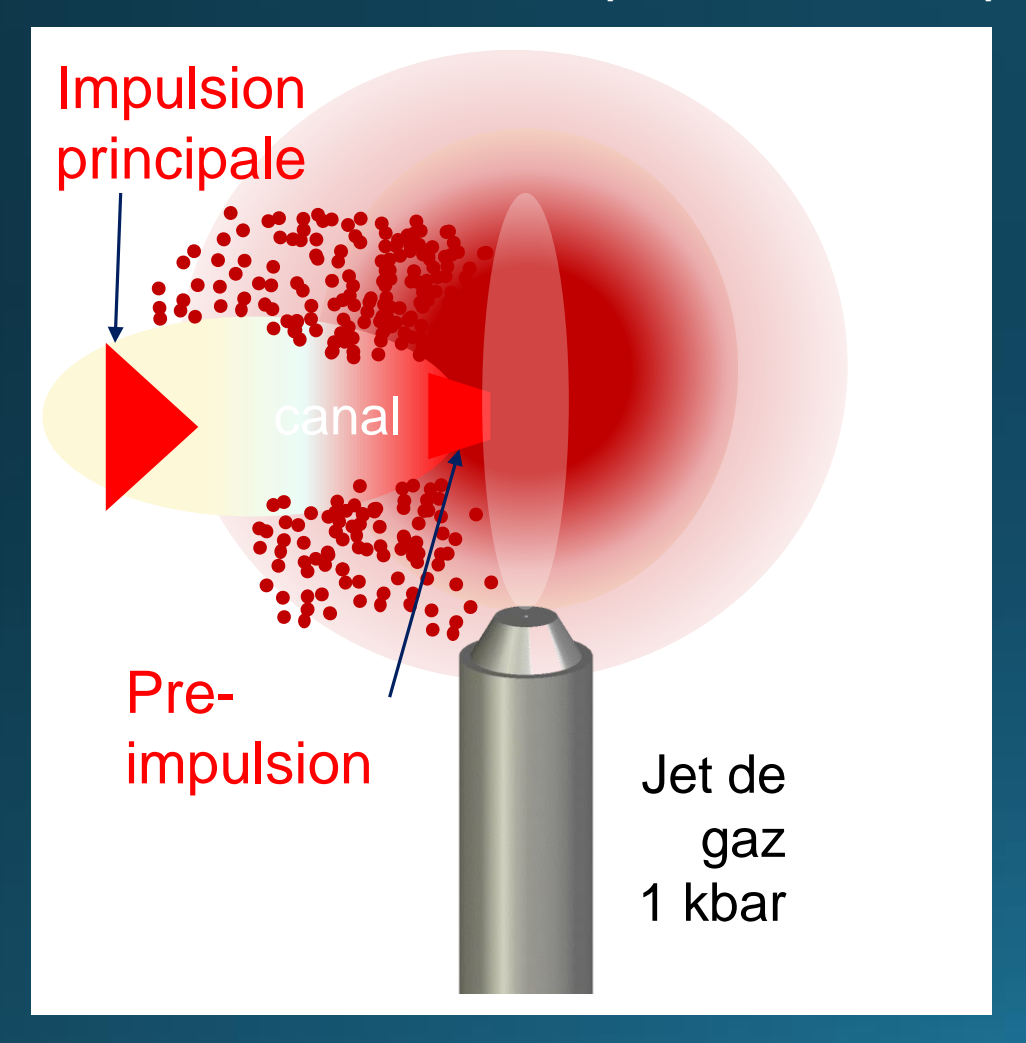


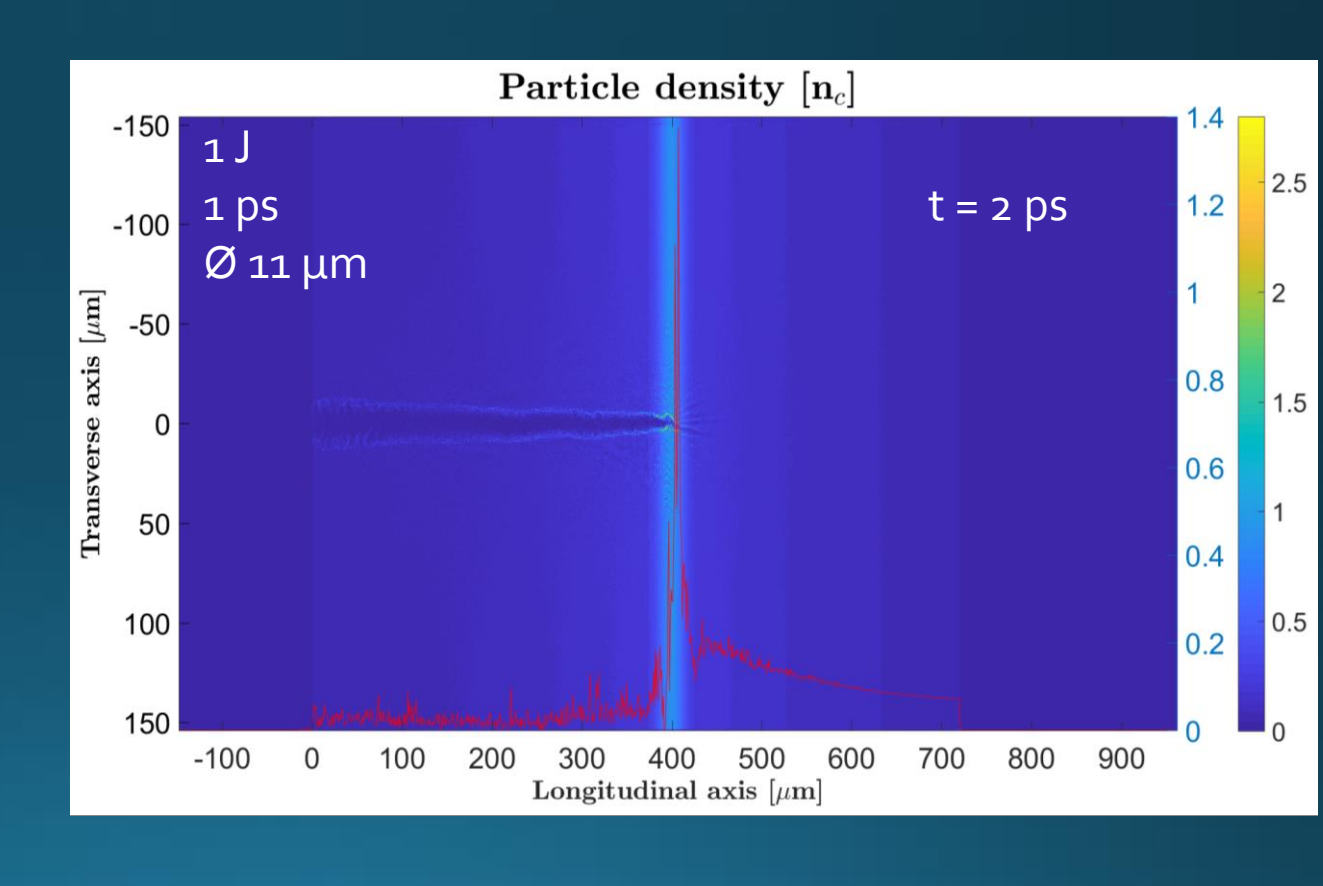
> Cohérence entre les diagnostics



# Accélération d'ions par laser grâce à un jet de gaz optiquement mis en forme

P-21-00004: 1ère experience avec une pré impulsion pour mettre en forme la cible solide







### Mise en forme optique de jet de gaz

Miroir
Polariseur
Lentille

convergente

\_\_\_Séparatrice

λ/2 lame d'onde Miroir pour 1064 nm 400 mm

400 mm lentille convergente

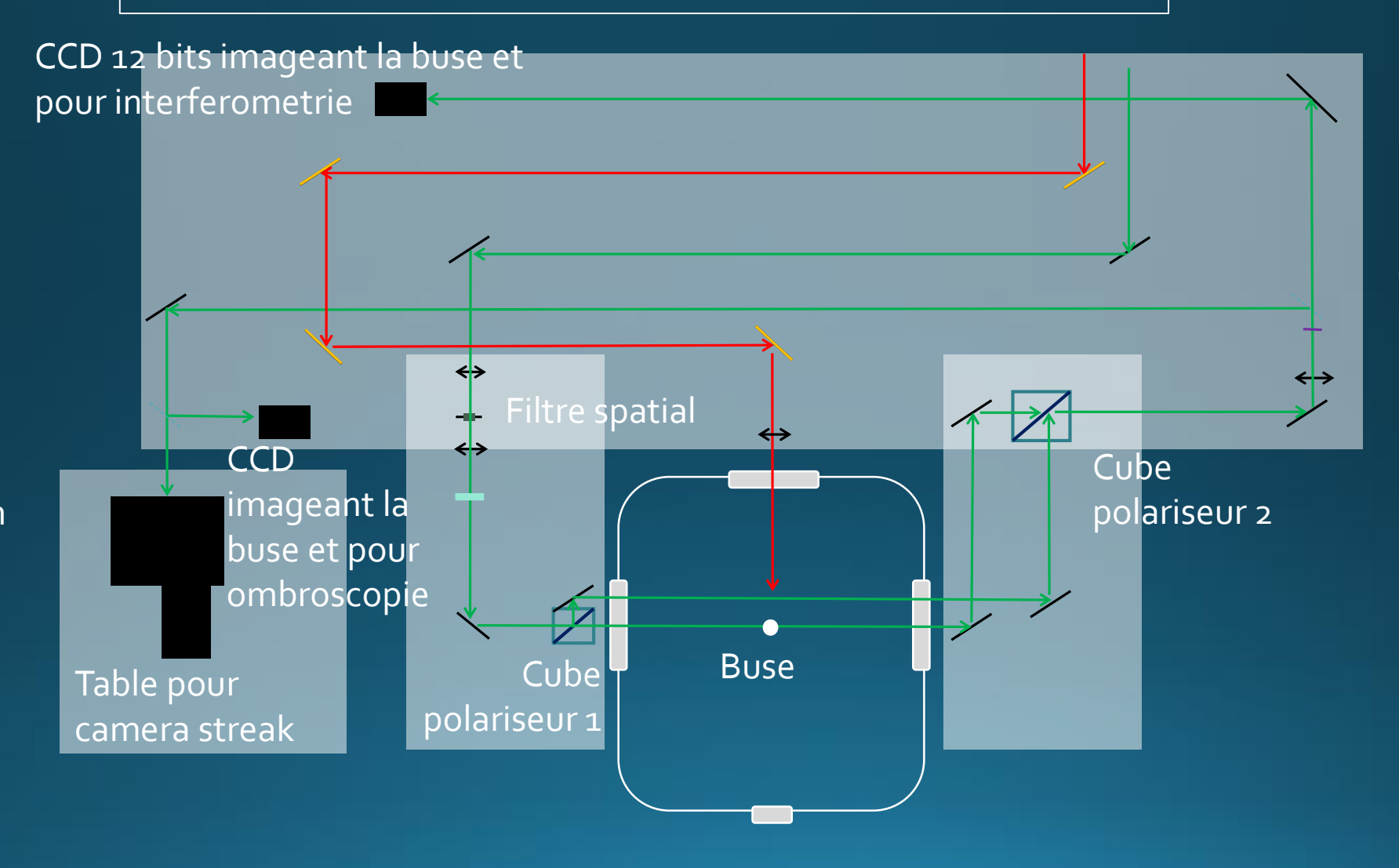
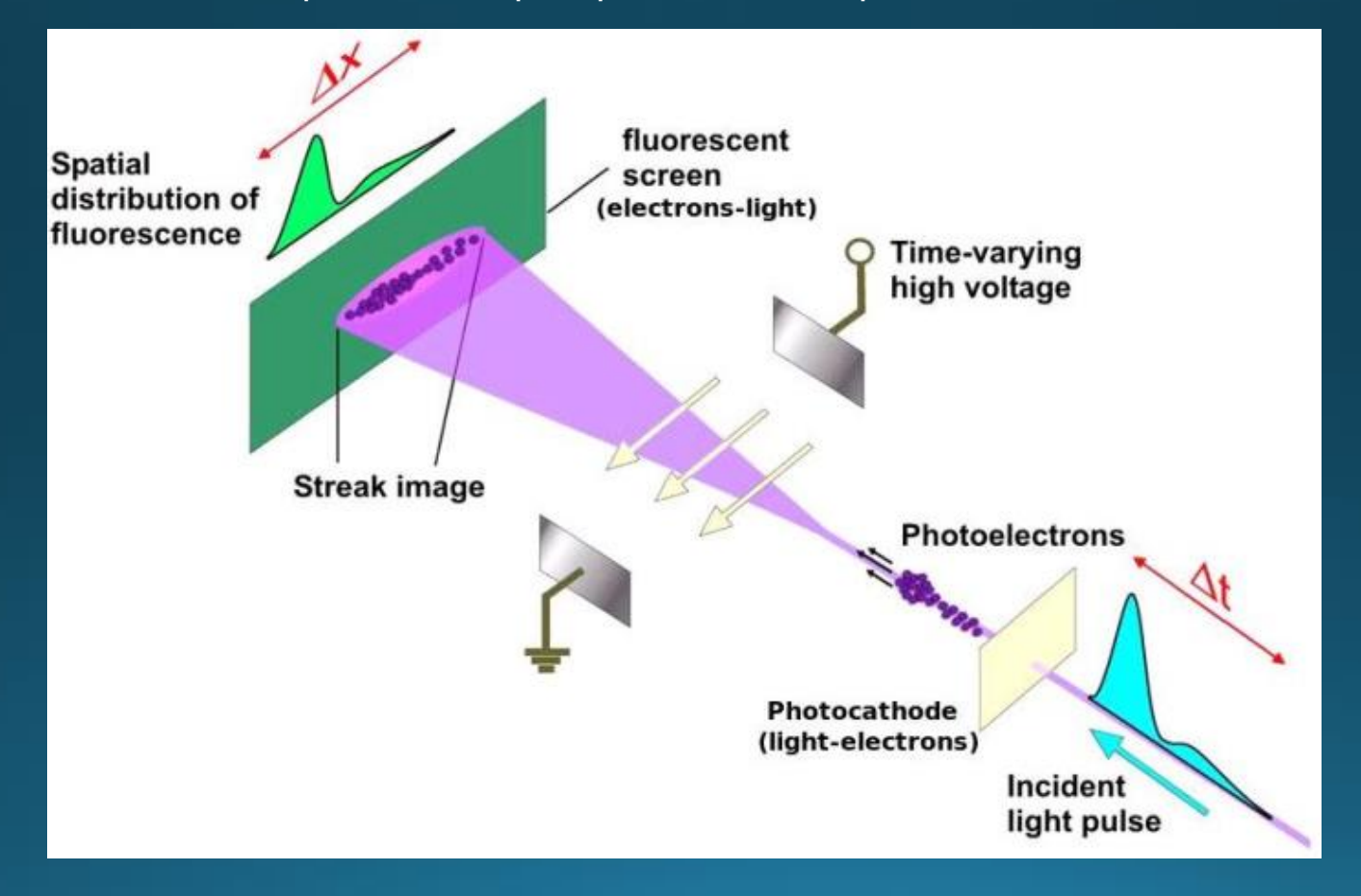


Table optique



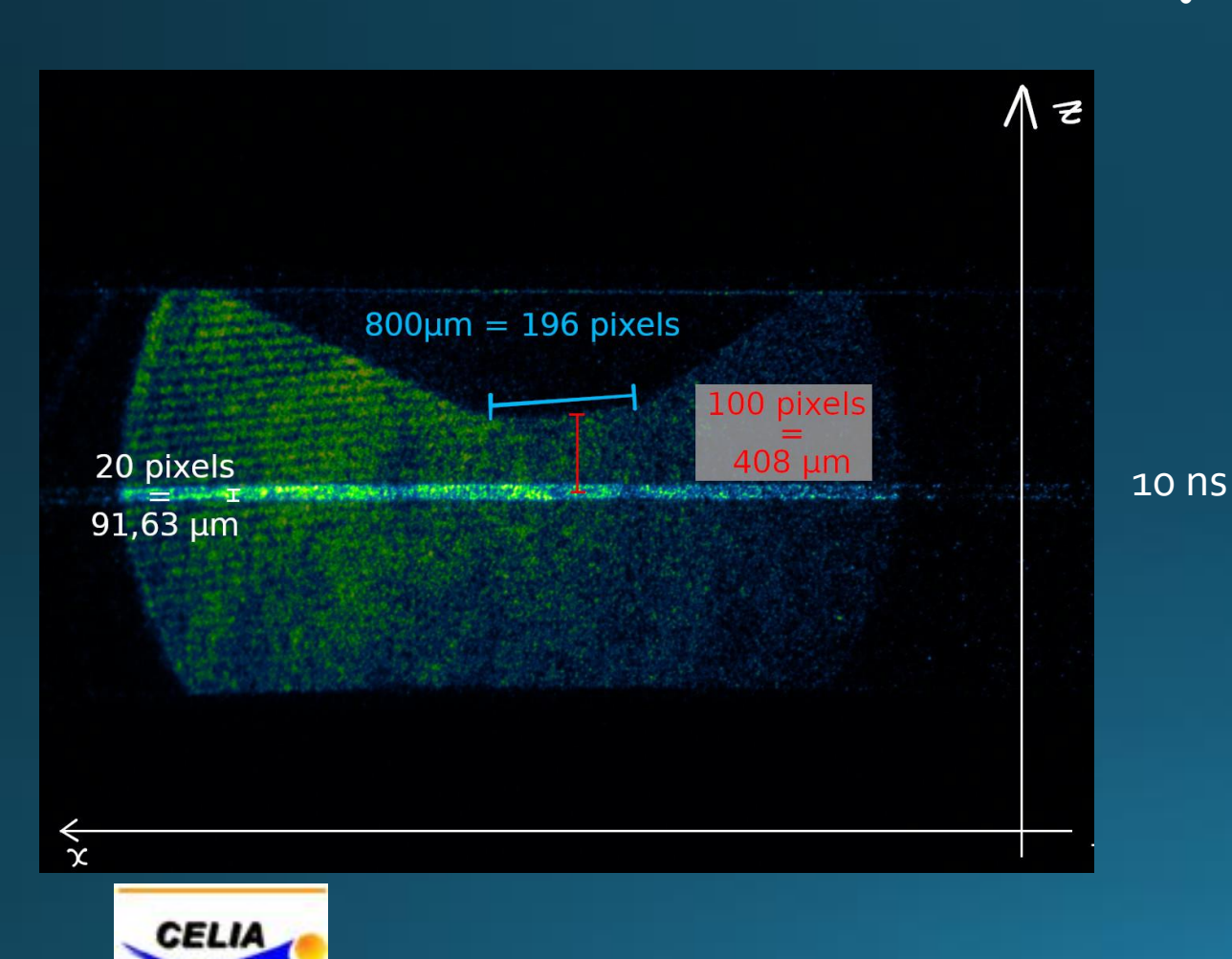
#### Caractérisation jet de gaz avec mise en forme optique: caméra Streak

Imagerie 1D (fente) sur une fenêtre temporelle de quelques ns (> 500 ps)

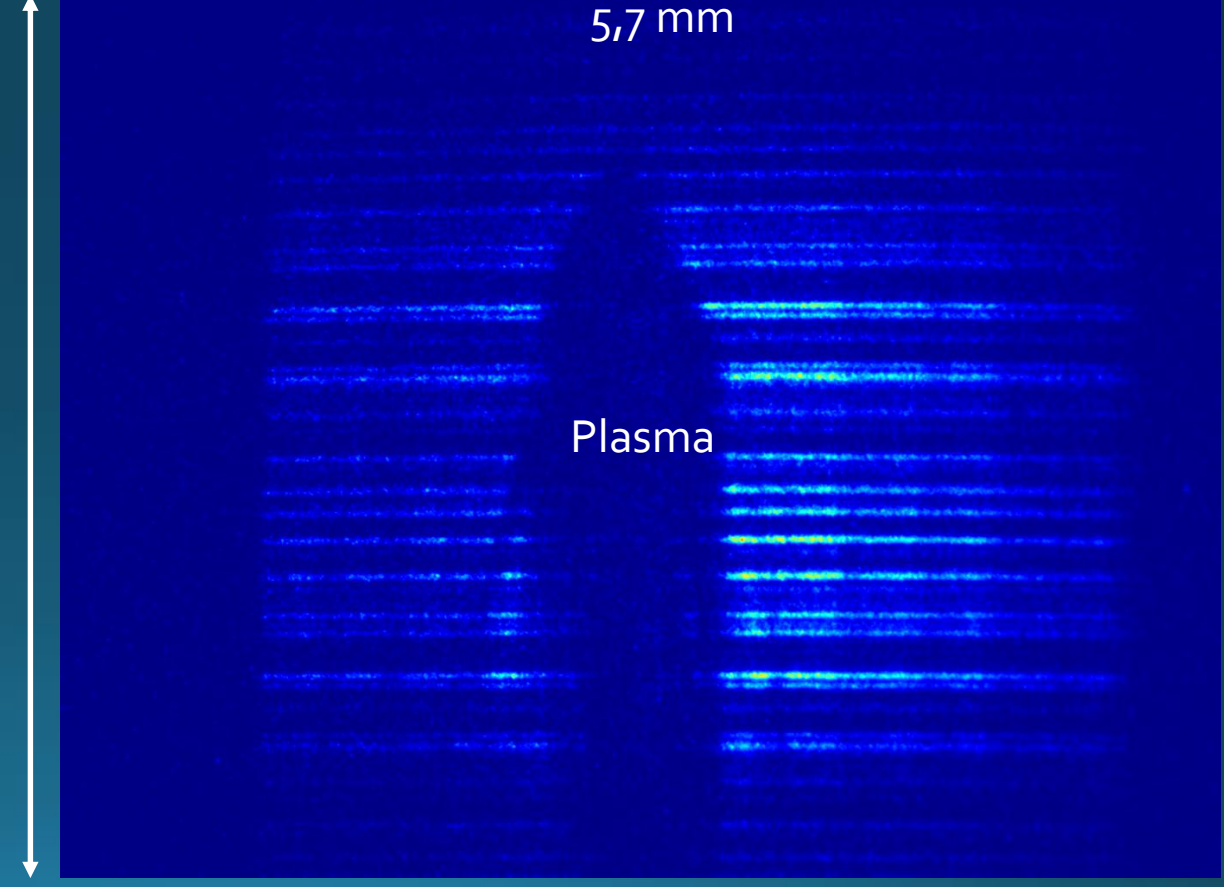




### Caractérisation jet de gaz avec mise en forme optique: caméra Streak



 Imagerie 1D (fente) sur une fenêtre temporelle de quelques ns (> 500 ps)

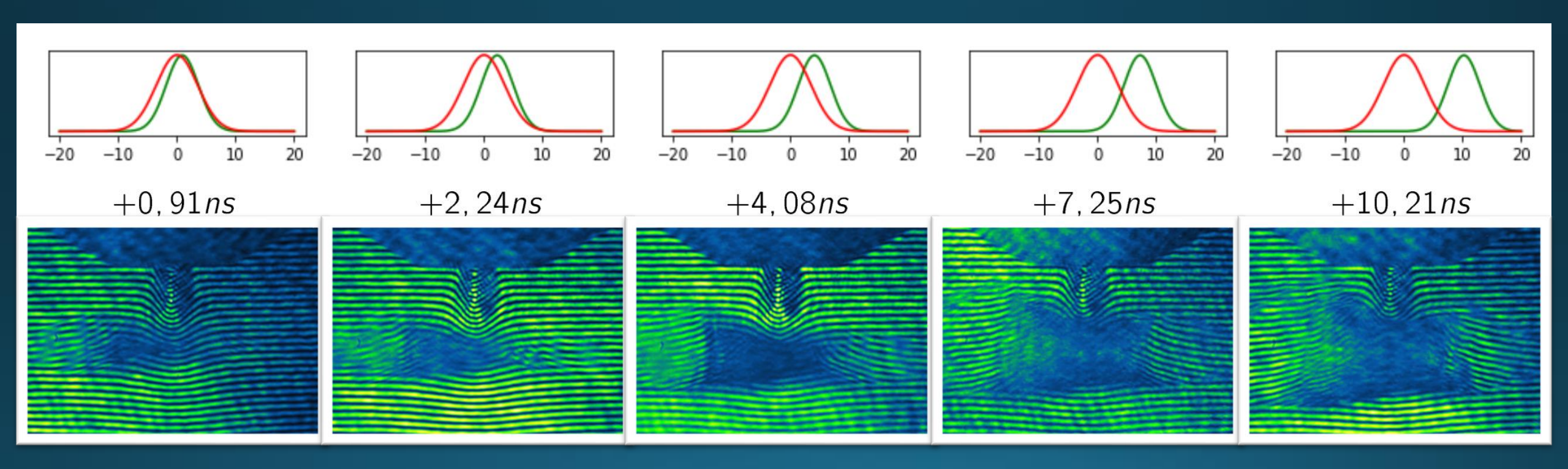


Renseigne sur la cinématique plasma



#### Caractérisation jet de gaz avec mise en forme optique: interférométrie

Observation du canal plasma qui se creuse

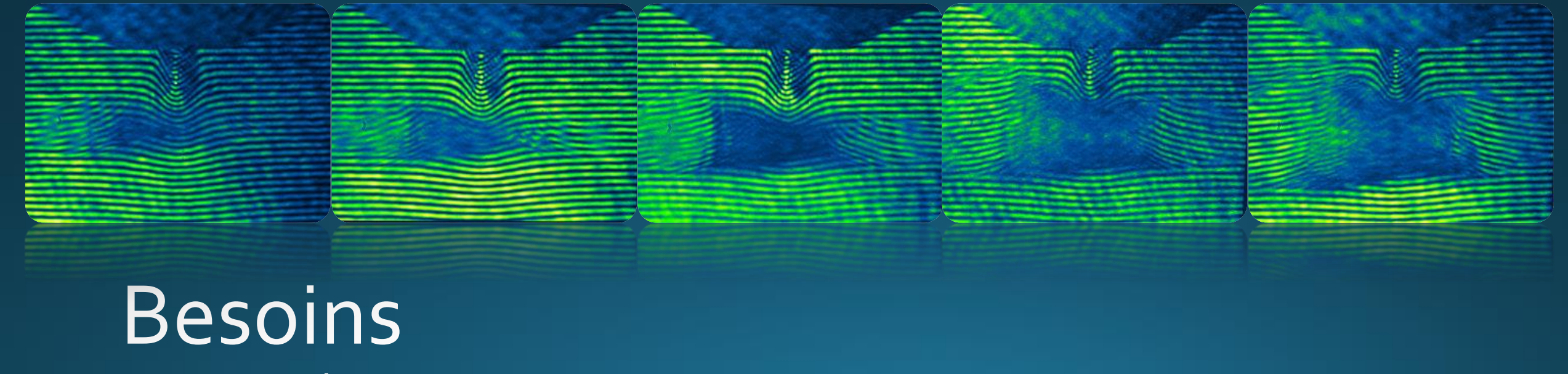


• On ne voit pas clairement le canal car plasma sur-critique à la sonde



### Et ensuite?

- 1. Hydrogène pour étudier la formation de structures
- 2. Endommagement des buses
- 3. Projet région VALERIA (2022-2025): GOI



- 1. Simulations
- 2. Déménagement